

УДК: 621.81 (075.3)

ДИНАМИЧЕСКОЕ ИССЛЕДОВАНИЕ ПРИВОДА БУТЫЛОЧНО-МОЕЧНОЙ МАШИНЫ

Аванесьянц А.Г., кандидат техн. наук, доцент
Одесская национальная академия пищевых технологий

В работе экспериментально решена задача по определению приведенного момента инерции и динамических нагрузок, действующих в системе привода бутылочно-моечной машины.

In-process experimentally a task is decided on determination of the resulted moment of inertia and dynamic loadings, operating in the system of drive of bottle-washing mashing.

Ключевые слова: динамика, эксперимент, привод, бутылочно-моечная машина.

Практически любая бутылочно-моечная машина представляет собой сложную динамическую систему с последовательно и параллельно соединенными звеньями, находящимися в сложном относительном движении. В общем случае эти звенья связаны между собой упругими связями. Однако, считая эти связи жесткими, а приведенный к валу двигателя момент инерции рассматриваемой системы $I_n = \text{var}$, уравнение движения машинного агрегата будет иметь вид:

$$I_n \frac{d\omega}{dt} + \frac{\omega^2}{2} \cdot \frac{dI_n}{dt} = M_\partial - M_c \quad (1.1)$$

Здесь: I_n – приведенный момент инерции системы; φ и ω – угол поворота и угловая скорость звена приведения; M_∂ – движущий момент; M_c – момент сопротивления.

Исследования показали, что влияние звеньев на переменность I_n незначительно, поэтому с достаточной степенью точности можно считать I_n постоянным. Тогда (1.1) преобразуется к виду

$$I_n \frac{d\omega}{dt} = M_\partial - M_c \quad (1.2)$$

В любой конструкции бутылочно-моечной машины теоретическое определение $I_n = I_n(\varphi)$ представляет весьма сложную практически сложно реализуемую задачу. Поэтому она была решена экспериментальным путем – известным методом выбега. Дело в том, что необходимо было решение практической задачи расчета на прочность крыльчатки тормозного устройства, которое установлено на валу приводного двигателя. Практика эксплуатации машины НАМА-28 показала, что она достаточно часто ломалась, потому что расчет ее параметров проводился по номинальному моменту двигателя.

Как только прекращается питание на электродвигатель движущий момент $M_\partial = 0$, и тогда на основании (1.2) уравнение движения машинного агрегата примет вид:

$$I_n \frac{d\omega}{dt} = -M_c \quad (1.3)$$

Для определения момента инерции, интегрируем обе части уравнения (1.3)

$$\int_{\omega_0}^0 I_n d\omega = \int_0^{t_1} (-M_c) dt \quad (1.4)$$

Здесь ω_0 – угловая скорость вала приведения в момент начала торможения, т.е. угловая скорость установившегося движения вала двигателя:

$$\omega_0 = \frac{\pi n_\partial}{30} \quad (1.5)$$

n_∂ – частота вращения двигателя; t_1 – время выбега (время от начала торможения до полной остановки машины).

Принимая $M_c = const$ и, интегрируя (1.4), получаем

$$I_n \omega_0 = M_c t_1 \quad (1.6)$$

или

$$I_n = \frac{30 t_1 M_c}{\pi n_\partial} \quad (1.7)$$

Из (1.7) видно, что для определения приведенного момента инерции I_n необходимо знать время выбега t_1 , момент сопротивления M_c и угловую скорость вала двигателя в момент торможения. Как уже отмечалось, все эти параметры были найдены экспериментально, в условиях эксплуатации машины НАМА-28.

Цикл работы привода этой машины состоит из двух периодов: рабочего хода – движение транспортера под нагрузкой и холостого хода – движения без нагрузки. В первый из периодов привод передает максимальную нагрузку, а в момент выстоя – минимальную. Поэтому экспериментально определялись

время выбега, потребляемая мощность (следовательно, момент сопротивления) и частота вращения вала двигателя во время рабочего и холостого ходов.

Для получения этих параметров было необходимо отключение тормоза, что осуществлялось подведением независимого питания к электромагниту. Таким образом, пружины прижимного устройства тормоза были в постоянно сжатом состоянии и неподвижный конус не соприкасался с крылаткой – тормозным конусом, сидящим на валу двигателя.

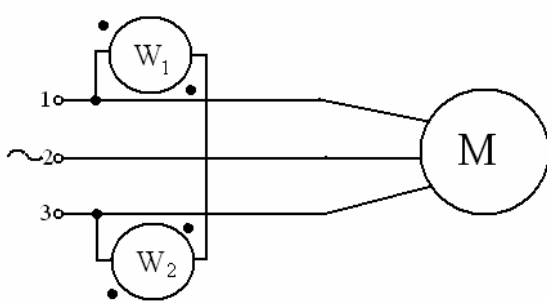


Рис. 1 – Электрическая схема определения мощности

В таблице 1 приведены результаты экспериментальных данных по определению времени выбега привода бутылочно-моечной машины НАМА-28. Согласно таблице среднее время выбега привода без тормоза во время рабочего хода составляет $t_p = 2,115$ секунды, а во время холостого хода $t_x = 2,54$ секунды.

При включенном тормозе время выбега во время рабочего хода равно $t_{pm} = 0,815$ секунд, а во время холостого хода $t_{xm} = 1,495$ секунды.

Определение мощности, передаваемой приводом и момента сопротивления M_c , проводилось по схеме, приведенной на рис. 1.

Последовательные обмотки ваттметров подключаются к любым двум проводам сети, а параллельно – на напряжение между этими проводами и третьим проводом. Так как провода, в которые включены последовательные обмотки, выбираются произвольно, то схема включения двух ваттметров может быть составлена тремя различными способами. Необходимо только, чтобы генераторные концы (отмечены звездочкой) присоединялись обязательно к тому проводу сети, в который включена последовательная обмотка.

Таблица 1 – Результаты экспериментальных исследований времени выбега

№ замера	Время выбега с тормозом, сек.		Время выбега без тормоза, сек	
	Рабочий ход	Холостой ход	Рабочий ход	Холостой ход
1	0,85	1,5	2,1	2,4
2	0,85	1,5	2,15	2,4
3	0,9	1,35	2,2	2,5
4	0,8	1,6	2,1	2,6
5	0,9	1,5	2,15	2,65
6	0,9	1,55	2,2	2,4
7	0,9	1,6	2,1	2,5
8	0,8	1,5	2,1	2,45
9	0,85	1,4	2,0	2,75
10	0,9	1,45	2,05	2,75

Таблица 2 – Потребляемая мощность

№ замера	Период выстоя транспортера		Период движения транспортера	
	P_1 , кВт	P_2 , кВт	P_1 , кВт	P_2 , кВт
1	0,78	0,78	2,03	2,03
2	0,8	0,8	2,03	2,03
3	0,85	0,85	2,04	2,04
4	0,9	0,9	2,04	2,04
5	0,9	0,9	2,03	2,03
6	0,86	0,86	2,04	2,04
7	0,86	0,86	2,04	2,04
8	0,9	0,9	2,04	2,04
9	0,8	0,8	2,03	2,03
10	0,85	0,85	2,04	2,04

Известно, что мощность нагрузки сети P , определяемая таким путем, будет равна

$$P = P_1 + P_2 \quad (1.8)$$

где: P_1 – показание первого ваттметра; P_2 – показание второго ваттметра.

В таблице 2 приведены данные измерений мощностей, проведенных в процессе работы машины НАМА-28.

Пользуясь данными таблицы 1.2 и равенством (1.8) находим, что мощность, потребляемая приводом в период выстоя транспортера равна $P_x = 1,798$ кВт, а период рабочего хода $P_p = 4,07$ кВт. Одновременно определялась угловая скорость вращения вала двигателя. Было определено, что частота вращения вала двигателя во время выстоя транспортера равна $n_x = 1441$ об/мин, а во время рабочего хода $n_p = 1423$ об/мин.

Определение приведенного динамического момента. Таким образом, зная мощность, потребляемую двигателем и частоту вращения его вала можно найти момент сопротивления в период начала торможения как при холостом, так и при рабочем ходе транспортера по формуле:

$$T_c = \frac{P \cdot 10^3}{\omega} \eta \quad (1.9)$$

где: $\eta = 0,86$ – КПД асинхронного двигателя /1/; $\omega = \frac{\pi \cdot n}{30}$ - угловая скорость вала двигателя.

Из приведенного следует, что момент сопротивления, действующий на валу приведения в период холостого хода равен ($\omega_x = \frac{\pi \cdot n_x}{30} = \frac{\pi \cdot 1441}{30} = 150,8 \text{ rad/c}$)

$$T_{cx} = \frac{1,798 \cdot 10^3}{150,8} \cdot 0,86 = 10,25 \text{ Hm} \quad (1.10)$$

а в период рабочего хода ($\omega_p = \frac{\pi \cdot n_p}{30} = \frac{\pi \cdot 1423}{30} = 149 \text{ rad/c}$)

$$T_{cp} = \frac{4,07 \cdot 10^3}{149} \cdot 0,86 = 23,5 \text{ Hm} \quad (1.11)$$

Согласно (1.7) приведенный момент инерции рассматриваемой системы будет равен
– во время выстоя транспортера

$$I_{nx} = \frac{T_{cx} \cdot t_x}{\omega_x} = \frac{10,25 \cdot 2,54}{150,8} = 0,1726 \text{ Hm}c^2 \quad (1.12)$$

– во время рабочего хода

$$I_{np} = \frac{T_{px} \cdot t_p}{\omega_p} = \frac{23,5 \cdot 2,115}{149} = 0,3336 \text{ Hm}c^2 \quad (1.13)$$

Зная приведенный момент инерции, динамический момент, действующий на вал приведения (а в данном случае и на конус крылатки тормоза), можно определить по формуле:

$$T_\delta = \frac{I_n \omega}{t_m} \quad (1.14)$$

Где t_m – время выбега бутылочно-моечной машины с включенным тормозом.

Используя равенство (1.14) находим, что приведенный динамический момент периода холостого хода транспортера равен

$$T_{\delta x} = \frac{I_{nx} \omega_x}{t_{mx}} = \frac{0,1726 \cdot 150,8}{1,495} = 17,41 \text{ Hm} \quad (1.15)$$

а в период рабочего хода

$$T_{\delta p} = \frac{I_{np} \omega_p}{t_{mp}} = \frac{0,3336 \cdot 149}{0,815} = 61 \text{ Hm} \quad (1.16)$$

Отсюда видно, что максимальный динамический момент, воспринимаемый крылаткой при торможении бутылочно-моечной машины, действует в период рабочего хода и в 2,6 раза превышает номинальный момент приводного двигателя.

Література

1. Вульфсон И.И., Козловский М.З. Нелинейные задачи динамики машин. – Л., Машиностроение. – 1968. – 264 с.
2. Умнов Н.В. Графический метод решения задач динамики механизмов с вариатором. – Машиноведение. – № 2, 1967. – 302 с.